（五）数据可视化在医疗健康领域中应用

在数字化健康时代，数据可视化已从辅助工具演变为决策核心。无论在重症监护室的床旁，还是在国家卫生部的会议室，可视化仪表盘都被寄予厚望——可作为将抽象的数据转化为可识别的模式、可触发的行动与可沟通的证据。然而，理想与现实之间往往存在显著落差。一方面，临床场景要求毫秒级的实时响应：智能摄像头检测到患者跌倒或心律失常，警报必须在护士站屏幕上几乎瞬时点亮。另一方面，政策制定者面对的是跨部门、跨周期的复杂指标，仪表盘若设计不当，反而可能沦为无人问津的数字展板，甚至被称为“仪表盘致死”。可见，可视化技术在不同层级、不同场景下的成功逻辑并不相同。以下两篇文章分别从临床实时监控与卫生政策管理两个维度，探讨了数据可视化的技术实现与制度适配,揭示出：无论在手术室还是议会厅，可视化的价值不取决于图表精美程度，而在于能否在正确时间、以正确形式、触发正确行动——这一命题，正是当前健康信息化建设中亟待回答的核心问题。

第一篇文章基于加纳、印度和南非三国在“儿童参与所有政策（CAP-2030）”倡议下的实践，系统分析了健康相关仪表盘在政策制定中的潜力、挑战与适用条件。仪表盘作为数据可视化工具，能够整合多源信息，以直观格式支持政策制定、运营决策、公众沟通与问责。在新冠疫情期间，其价值尤为突出。不同受众（政策制定者、一线员工、公众、学术界）对仪表盘的需求各异，如政策制定者关注战略优先领域，一线员工需要实时可操作信息，公众则看重透明与易懂。现仪表盘应用主要面临着四大挑战：（1）用户参与不足。许多仪表盘开发过程中缺乏与终端用户的充分互动，导致与实际决策流程脱节，出现“仪表盘致死”现象。（2）数据生态系统薄弱。数据质量不一致、更新不规律、互操作性差（技术+政治障碍）是普遍问题。例如加纳需整合十个不同组织的数据，印度受限于基础设施和人力资源。（3）资源投入巨大：从数据清理到维护、培训、技术团队支持，成本高且不可持续，捐助资金结束后往往难以维持。（4）使用风险：过度依赖仪表盘可能导致监控加剧、官员选择性呈现数据、强化既有偏见，甚至挤占实际服务提供的时间与资源。若使其成

功应用需满足以下四条件：(1)仪表盘需建立在强大的数据系统之上，依赖常规、定期更新的数据，并基于信任。(2)设计与功能必须针对最终受众需求定制，采用灵活、移动友好的界面。(3)实现跨部门互操作性与自动数据集成（如 API），并持续投入人力与资金。(4)仪表盘应激发政策对话，而非作为独立解决方案；应使用流程指标而非仅结果指标。对此，文章给出以下建议：开发前评估仪表盘是否为最佳工具，优先整体数据系统提升；动员多元参与者协作，确保内容与设计符合目的；优先简洁与灵活，适配移动端；明确数据来源与更新频率，采用清晰指标定义；实现互操作性，尽可能自动化数据集成；制定传播与监测计划，广泛培训终端用户；为可持续性预算，纳入经常性开支。最后文章给出结论：仪表盘并非万能工具，其有效性高度依赖国家数据生态、政策流程与情境因素。只有将其嵌入更广泛的数据管理与能力建设战略，才能真正服务于明智决策与健康结果改善。未来研究应聚焦过程指标（如参与度、信任），并纳入本地专业人士与社区成员的视角。

数据可视化的价值不仅在于“展示”，更在于“时效”。第二篇文章主要探讨了一种提高重症监护中智能视频监控时效的设计。在智能视频监控驱动的重症监护环境中，每一帧视频、每一次姿态变化、每一个生理异常，都必须以可视形式在毫秒内抵达医护人员的屏幕。然而，传统数据库的可视化链路——轮询、查询解析、磁盘 I/O——天然存在延迟瓶颈，导致可视化结果滞后于物理事件，严重削弱临床响应能力。可视化延迟的根源来自于传统架构的三重障碍：（1）轮询模型引入人为滞后：护士站仪表盘通常每 1–5 秒向数据库发起查询（如“是否有新事件？”），该机制本身即造成秒级可视化延迟。（2）读写争用阻塞数据呈现：高并发写入（如多路摄像头同时上报事件）会锁住事件表，读者（可视化前端）被迫排队等待，导致屏幕“冻结”或“刷新超时”。（3）序列化与网络开销：JSON/BSON 解析、TCP/IP 协议栈、SQL 解析等环节增加每笔事件的可视化延迟，且波动剧烈，无法保障确定性。为破解上述困局，Ramesh Kumar Veerapaneni 等学者提出了一种专为智能视频监控设计的内存数据库架构——SubDataBase-0.91s（可视化优先的存储引擎），旨在实现亚毫秒级的数据写入与实时警报推送，即将可视化逻辑前置到存储层。其核心设计包括三项：（1）零拷贝直接寻址 → 极速数据访问：事件以 128 字节固定结构体连续存储在环形缓冲区中；读取操作通过指针算术直接定位内存地址，无需 SQL 解析或 B 树遍历；可视化前端可瞬时拉取任意历史窗口（如“坠落前 10 秒”），实现微秒级数据供给。（2）写入即推送的实时可视化：数据库内建“可视化桥”——一个轻量级 WebSocket 服务器；当事件写入环形缓冲区时，写入函数直接触发 JSON

负载构建并通过 WebSocket 推送到所有订阅客户端（iPad、护士站大屏）；推送延迟≤2 毫秒，使可视化更新与物理事件近乎同步。（3）确定性低延迟消除可视化盲区：在无锁写入和环形缓冲的保障下，99%写入延迟<0.1 毫秒，且不随并发量增加而显著波动；可视化仪表盘无需等待锁释放或磁盘确认，始终保持流畅刷新，消除传统系统中常见的 2－5 秒“黑屏窗口”。在模拟 ICU 部署中，该系统实现了：（1）端到端可视化延迟：从患者身体动作到护士 iPad 屏幕出现红色警报磁贴，全程仅 58 毫秒，其中存储与推送环节不足 2 毫秒。（2）高并发下可视化不中断：在 5000 事件/秒的“雷鸣群”压力测试中，可视化前端仍能正常刷新，无超时或白屏，而基于 PostgreSQL 的仪表盘因读阻塞已完全失效。（3）时间旅行可视化：环形缓冲区支持通过偏移指针直接回放历史事件（如前 10 秒画面），无需执行复杂查询，取证分析即时完成。（4）可视化安全与合规：所有推送的可视化数据均通过 TLS 1.3 加密的 WebSocket Secure 传输，客户端需 JWT 令牌进行基于角色的访问控制。敏感帧数据不直接推送，仅下发引用指针，由客户端按需加载，确保受保护健康信息不泄露。最后研究得出结论：在重症监护中，数据可视化的核心指标不是图表的美观度，而是从物理事件到屏幕呈现的时间跨度。SubDataBase-0.91s 通过摒弃轮询、消除锁争用、内嵌推送机制，将可视化延迟压缩至人眼无法感知的量级，使数字仪表盘真正成为物理病房的实时镜像，而非滞后的历史记录器。

（徐健编辑）

译文一：

卫生政策决策中运用仪表盘的机遇与风险：来自加纳、印度和南非的实践经验

Luxsena Sukumaran, Kwame,S Sakyi,·Vrashali Khandelwal,

Mary Kinney, Joseph Agbavitoh, Leonie Akofio Sowah, etc.

来源：The Lancet Digital Health.

时间：2026 年 5 月

链接：https://doi.org/10.1016/j.landig.2026.100984.

1. 简介

政府越来越多地使用基于数据的工具来支持决策。尽管数据一直在政策制定中发挥作用，但信息与通信技术的进步扩大了对海量和多样类型数据的访问。结合来自多方数据的能力，这些发展为政策制定者提供了更明智决策的新可能。数据可视化工具，如仪表盘，已成为分析复杂健康信息的有前景资源，能够以适合多元受众访问的格式，涵盖从高级政策制定者到地方卫生官员及公众。在低收入和中等收入国家（LMICs），如 DHIS2 等系统在提升健康信息系统中的数据解读方面发挥了关键作用，同时也参与了艾滋病、疟疾和疾病监测等相关举措。新冠疫情凸显了仪表盘在提供实时疫情统计、支持公众沟通和政策响应方面的潜力。2023 年一项涵盖 65 项研究的文献综述强调了公共卫生仪表盘的多种应用，涵盖从监测传染病到应对洪水和污染相关健康威胁等紧急情况。

检索策略与筛选标准:

该观点的数据通过在 PubMed、Embase 和 Web of Science 等平台检索，并结合相关文章的参考文献，使用“dashboard”、“data visualization”和“child health”等搜索词找到。摘要仅在与先前发表工作直接相关时被收录。仅收录于 2000 年 1 月 1 日至 2024 年 10 月 31 日期间以英文发表的文章。

国际和多边机构开发了支持倡导、监测儿童健康与福祉进展以及处理其他主题的仪表盘，但内容相当重复。同样，中低收入国家政府通常获得大量国内外发展融资支持，也开始创建自己的仪表盘，以与国际趋势保持一致。全球仪表盘主要用于比较国家、倡导投资和提供技术支持。国家级仪表盘旨在支持各国内部的规划和资

源分配，理想情况下遵循国家优先事项并使用国家拥有的数据。仪表盘的开发和使用在两个层面上本质上具有政治性质，存在被视为决策和进步的完美解决方案的风险。2023 年的一项系统综述报告指出，现有研究主要聚焦于仪表盘的功能性和可用性，导致用户参与度以及仪表盘在决策指导中的实际有效性，尤其是在国家和次国家层面，尚未得到充分探讨。

仪表盘的实用性取决于其与具体健康优先事项的契合度、准确及时的数据可用性、用户的技术需求以及地方卫生系统解读和处理所提供信息的能力。我们借鉴了在加纳、印度和南非“儿童参与所有政策”倡议（面板 1）下，在加纳、印度和南非儿童健康与福祉仪表盘方面的经验，探讨仪表盘如何被开发和用于从运营决策到战略指导和公共问责等多种健康相关目的。我们的评估基于与各国团队成员的讨论、公开研讨会、进展报告以及参与开发和实施仪表盘的人员经验分析。

第一组 “2030 年儿童在所有政策”倡议下的儿童健康与福祉仪表盘

2030 年儿童参与所有政策（CAP-2030）是一个成立于 2021 年的全球联盟，旨在落实世界卫生组织、联合国儿童基金会、柳*叶刀*委员会报告《为*世界*儿童*做什么？*》的建议。13 联盟使命的关键组成部分是创建证据综合工具，以支持儿童健康的决策、战略规划和倡导工作。2022 年，CAP-2030 与世卫组织和联合国儿童基金会共同推出了儿童健康与福祉仪表盘，该仪表盘涵盖全球所有国家的生存、保护、发展和参与四个领域，以及跨领域的背景和政策因素。仪表盘使用交通信号系统来显示国家表现。

为了理解仪表盘如何影响政策制定，本观点借鉴了加纳、印度和南非 CAP-2030 联盟成员的见解和政策参与经验——这些国家拥有独特的治理结构、数据容量和卫生系统。这些国家的作者是拥有儿童健康政策、数据系统和仪表盘开发专业知识的卫生系统研究人员。在每个国家，团队与国家和次国家政策制定者、技术顾问、数据系统管理者以及参与儿童健康数据收集、管理和使用的一线实施者合作。这些参与者通过政策圆桌会议、双边磋商和工作组会议参与其中。在加纳，这一过程促成了共同开发次国家仪表盘，以支持该国早期儿童护理与发展政策的实施。我们更广泛地关注加纳，因为那里是唯一一个参与者明确需要仪表盘的环境，进而共同开发和运营使用，从而提供了观察从设计到实施全过程的独特机会。在印度，开发了一个仪表盘，用于在规划托儿基础设施试点计划时与政策制定者互动。在南非（西开普省），一项情境分析和参与者参与，考察了儿童健康和福祉数据在各行业的决策应用，结果确定不需要新的仪表盘;相反，政策讨论侧重于提升多部门整合和现有数据系统的解读。

从 2023 年 7 月到 2024 年 8 月，三国团队参加了每月的跨国电话会议，交流有关行为者群体数据使用、治理问题及仪表盘开发最佳实践的经验。这些合作伙伴的工作促进了儿童健康政策的实质性发展，并持续为三国高级政策制定者的决策提供参考。

虽然本观点并非研究性研究，但纳入这三个国家——各自具有鲜明背景——使得我们能够更细致地理解仪表盘在不同低收入和中等收入环境中的开发与体验。我们的方法以参与式参与和体验式学习为基础，旨在为可持续仪表盘开发和政策影响提炼出实用经验。我们也认识到外部视角的局限性，鼓励与本地专业人士进一步合作，以增强我们研究成果的相关性。

在本观点中，我们考察不同受众的需求和期望如何塑造健康相关仪表盘的设计和功能;仪表盘使用的更广泛影响，包括过度依赖这些工具的风险;以及在复杂数据生态系统中开发仪表盘时面临的挑战，这些生态系统中数据质量、可用性和互操作性可能差异很大。最后，我们反思了仪表盘何时最可能发挥作用，并提出建议，支持政府及其他相关方利用数据制定有效且公平的健康行动。

2. 仪表盘

仪表盘一词在公共卫生和政策领域没有明确定义，常与数据可视化交替使用。我们理想化地将仪表盘定义为一种交互式数据可视化，将来自各来源的定期更新信息汇集成有意义且易于理解的格式，目标是通过突出需要干预的领域来触发行动。然而，实际上，这些条件很少全部被称为仪表盘的工具满足。在加纳，仪表盘通过汽车仪表盘的比喻向政策制定者解释，将关键信息整合成易于理解的格式。这一解释与 Few 对仪表盘的定义一致，仪表盘是实现一个或多个目标所需最重要信息的可视化显示，整合并排列在单一屏幕上，便于一目了然地监控信息。Yigitbasioglu 和 Velcu 同样强调仪表盘的功能，将其定义为呈现实现一个或多个目标的最重要信息的工具，允许用户识别、探索并传达需要纠正措施的问题区域。

在分析加纳、印度和南非儿童健康及相关问题仪表盘的格局时，我们观察到多个议题领域存在多种目的、用途和目标受众，这些内容已在表格中总结。根据受众的独特需求，仪表盘在潜在功能、关注领域、数据粒度和视觉复杂度、更新频率和数据来源上有所不同。对于政策制定者来说，仪表盘可以促进决策和政策优先排序，重点关注长期社会影响或作为监控和实施政府计划的工具。对于一线工作人员，仪表盘应通过用户友好的界面提供实时、可操作的洞察，支持动态环境中的即时决策。例如，西开普省的内部安全仪表盘利用医院急诊中心的分诊与信息系统识别与创伤和暴力相关的趋势和热点，帮助在各领域优先确定干预区域。此外，记者和公众还可以利用仪表盘促进透明度、公众参与和事实报道。在加纳，公众和媒体都使用基于教育部数据的仪表盘，用于评估免费中等教育政策的实施情况，并在选举期间监督政府。在新冠疫情期间，仪表盘指导并指导了三国的公众行为。此外，南非公众广泛使用仪表盘管理西开普省 2023 年水危机，且每周更新仍向公众开放。最后，学者和民间社会参与者倾向于使用提供详尽、细致分析的仪表盘，用于研究和倡导。

表 1 针对加纳、印度和南非不同受众的仪表盘观察特征

	受众			
	政策制定者	**负责实施的一线员工**	**公民或记者**	**民间社会或学术界**
目的	决策、政策制定、长期战略规划、监督政府项目执行	运营指导、实用解决方案和流程变更、疾病爆发热点或激增的识别、人力资源规划	提高意识，提供及时的信息，基于事实的报道	研究、理论构建、政策批判、社会影响
数据粒度和视觉复杂度	中高：治理的关键细节，细节与简洁的平衡	中等：实用信息，适合即时使用。	低级：简化、易懂的关键数据点可视化	高：详细数据和数据展示，用于细致分析和研究
相关重点领域	关键的政治或政策优先领域、行业特定分析（如医疗保健、教育和环境政策）、政策执行	绩效指标、对指导方针和运营政策的遵守情况，以及现场反馈系统	公共利益领域、政府问责制及社会问题	关键政治或政策承诺，利益集团领域
实用功能	高层次摘要，配有详细的筛选选项和有力的视觉效果，帮助快速决策	用户友好的界面突出针对基层需求的可操作洞察	简单的视觉效果，基本或无滤镜，以及对关键信息或趋势的清晰解释	高级分析功能，包含详细的筛选选项，访问原始和可下载数据，可定制可视化
更新频率	更新内容与政策周期、预算报告及新兴议题相协调	频繁更新，尤其是在动态环境中（例如医疗、紧急服务）	关于定期、可预测的周期更新，或针对时事或新闻的回应	定期周期更新（与研究出版物、倡导周期或长期数据收集相符）
数据来源	来自政府机构、调查和影响评估的综合数据	实时运营数据、内部报告以及运营即时反馈（可以是仅内部数据）	政府数据、公开数据及官方报告	来自政府或国际来源的公开数据、调查、学术研究和纵向研究
示例	印度饮用水与卫生部仪表盘	西开普结核病仪表盘	加纳教育部问责仪表盘	印度公共厕所仪表盘

注：本表旨在展示基于我们在加纳、印度和南非观察到的仪表盘的不同功能。现实中的仪表盘可能针对多个受众，并设计成满足多种功能。

3. 仪表盘死亡：仪表盘作为政策输入被忽视

在印度和南非，以及在加纳程度较轻的地区，我们观察到仪表盘和类似基于数据的工具激增，一位印度政策制定者甚至称之为“仪表盘致死”。即使是经过深思熟虑设计和实施的仪表盘，也未必能很好地融入决策、运营和问责流程。在某些情

况下，仪表盘的创建没有考虑如何解决现有的信息缺口。根据我们的参与和观察，与仪表盘相关的最常见问题是在仪表盘开发过程中与政策制定者及其他终端用户的互动不足，尽管已有证据强调理解政策制定者需求的重要性。在我们关于儿童健康的研究中，我们尽量避免这些陷阱。例如，在加纳，采用了有计划的结构化方法开发早期儿童护理与发展仪表盘，指导基于福格行为模型，广泛咨询和迭代审查。这一方法催生了一个简单、用户友好的原型，旨在提升多元用户群体的使用率。在西开普省，举行了行动者会议，评估新的儿童健康与福祉仪表盘是否对政策制定者和终端用户有用，最终得出结论：当时该仪表盘并不有用，因此未创建新的仪表盘。

我们在三个国家的经验进一步表明，仪表盘应促进对话并校准持续流程，而非作为独立解决方案，例如使用更多流程指标而非结果指标（这里指标是衡量仪表盘整体主题维度的简单定量变量）。在政策制定过程中，仪表盘应激发问题，并构建符合当前政治优先事项的讨论框架。然而，即使政策制定者愿意将仪表盘作为政策输入，快速进行的政治讨论与开发定制数据工具所需的时间和精力之间，常常存在不一致。这些挑战还因用户数据素养水平差异以及复杂界面设计可能超出高层政策制定者的需求或理解而更加复杂。由外部参与者（如资助方）推广的仪表盘，或因政治考虑而忽视数据选择功能，可能导致产品被低估和资源浪费。

这些问题引发了一个重要问题：在 LMIC 医疗系统背景下，仪表盘和其他数据可视化是否必然能带来更好的政策实施、运营决策和服务交付？基于我们的实地经验和更广泛的文献，仪表盘有时能改变视角或成为变革的催化剂，但它们通常只是更大拼图中的一块，与政治背景和行为者利益等其他因素并列。然而，大量时间和资源被投入到数据收集、清理和维护上，这可能影响基于证据的服务的实际提供。对数据管理的关注可能导致监控加剧，并迫使数据呈现有利于他们，尤其是负责收集、整理和呈现数据的官员，往往是上级官员根据数据本身来评估其表现的人。此外，选择性使用数据源和指标也可能强化已有的偏见或决策。因此，有必要审视这样一个前提：为创建、维护和使用这种数据通信所投入的资源必然会转化为实际的改进。

4. 垃圾进，宝藏出？数据生态系统中的仪表盘

国家数据生态系统在数据质量、可用性和互操作性方面存在巨大差距，对仪表盘开发提出了巨大挑战，尤其是对于整合跨部门多元数据的仪表盘。在这三个国家，我们都观察到数据在获取和整合仪表盘方面存在各种挑战。首先，仪表盘开发常常

受到数据可用性、数据质量不一致以及数据更新方式不均等等问题的阻碍。例如，在印度，基础设施、系统性和人力资源的限制，如连接不良、员工知识不一致以及验证和反馈机制不足，影响了数据可靠性。在某些情况下，适当的数据根本无法获得，例如当唯一可用的实时决策数据来源是可能已有 5 年以上历史的家庭调查时。在加纳和印度，国家家庭调查的数据集不足以描述和理解次国家层面的需求，凸显了改善常规卫生信息系统的必要性。在其他情况下，数据更新时不规律，这在印度影响了旨在提供儿童健康和福祉快照的指标可靠性。

其次，数据互操作性依然是仪表盘开发中的一大障碍，无论是技术上还是政治上。一些公开数据集以非表格格式呈现，导致延迟，并要求开发者寻找替代数据源或完全删除指示符，省略具有概念意义的领域。在加纳，开发早期儿童护理与发展仪表盘的努力涉及整合来自十个不同组织的数据，每个组织使用不同的数据收集平台。一些组织使用应用程序接口促进数据交换，而另一些则依赖纸质方法，这需要耗时的数据提取，增加了人为错误的风险。还有一些公司因数据隐私问题使用了格式和访问限制不一致的数字格式。技术障碍因政治障碍而加剧——为了确保十个实体之间的数据互取，需要大量谈判。在西开普省，推动部门间数据共享取得了一些进展，包括通过设立省级数据办公室。然而，将常规数据整合进跨部门平台的努力受到政府部门分散、各自拥有独立情报部门以及防止个人数据共享的隐私法律阻碍。事实上，我们观察到数据生态系统常常设计以满足各个部门的即时需求，导致错失了协调和整体政策行动的机会。

鉴于这些挑战，仪表盘需要大量的启动成本和持续的资源投入，以维持功能、确保数据质量并提供持续的用户支持——理想情况下，适用于桌面和移动版本。需要具备数据管理、开发、技术支持和健康信息系统等技术团队，才能高效实现仪表盘。缺乏足够的人力资源，仪表盘的实施可能会增加工作量，尤其是对社区卫生工作者及其他参与数据收集和管理的相关方而言。对及时且改进数据的需求会给一线工作人员带来相当大的压力，他们往往已经承担着临床和行政职责。全球健康领域对实时数据的推动有时会将关注点转向外部问责，而非支持地方决策，导致服务提供与报告要求之间产生紧张关系。在加纳，早期儿童发展仪表盘的开发从构思到最终原型（图 1）发布，历时近一年，部分原因是耗时的数据管理过程。积极的一面是，政策制定者意识到该国数据生态系统存在大量缺口，从而对数据基础设施带来

了切实的改善。在最佳情况下，仪表盘开发可以主动改进数据系统，增强跨部门协调，同时持续提升能力建设和数据管理实践的改进。

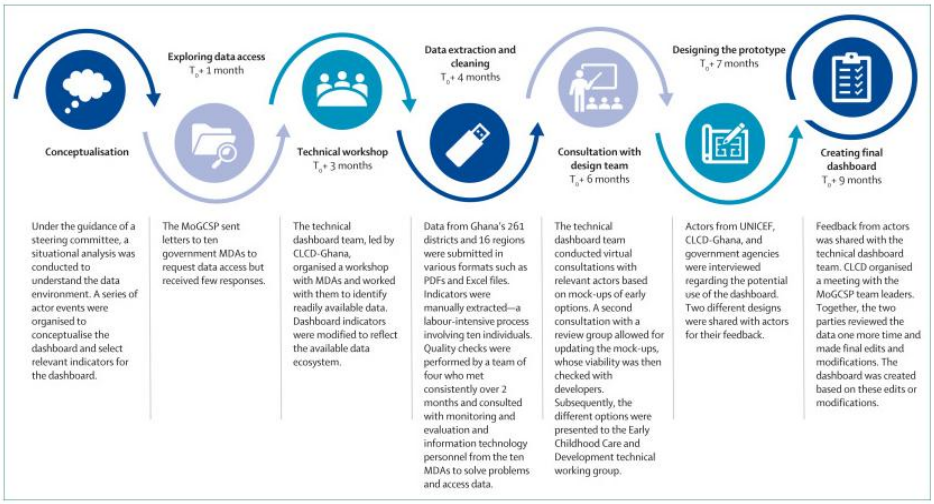

图 1：加纳仪表盘开发时间线

5. 仪表盘什么时候可能有用？

尽管面临诸多挑战，仪表盘已成为加纳、印度和南非多样化用途和环境中不可或缺的工具。在新冠疫情等紧急情况下，实时的常规健康信息对于立即决策和公众意识提升至关重要。在这三个国家，公民、记者、研究人员和政策制定者都积极监控仪表盘，实时更新感染率、医疗能力和公共卫生措施。此外，仪表盘有助于确保政策实施的问责制;支持内部战略目标，如帮助政府制定政策叙事和促进政策对话;以及指导运营规划，例如服务交付。关于我们协助开发的两个仪表盘，加纳的仪表盘被用于指导和支持次国家计划的制定，并监测该国修订后的国家早期儿童发展战略既定目标的进展情况。在印度，该仪表盘被用来支持为非正规移民工人子女设立托儿所的论点，针对政治和政策参与者。

在这三个国家中，我们发现仪表盘在有强大数据系统支持时效果最佳，这些系统在适当情况下依赖常规健康信息，数据通过应用程序接口定期实时更新，并建立在信任基础上。与以往研究类似，我们观察到在加纳，决策者对数据的信任对于有效政策应用同样甚至更为重要。在仪表盘启动期间，加纳作者团队成员通过培训用户、解释数据限制以及清晰标注与可持续发展目标目标一致的数据来源和指标定义，建立了信任。此外，性别、儿童和社会保护部仅批准来自可信来源的数据，形成了一个基于既有系统（如地区卫生信息管理系统、教育管理信息系统）以及加纳统计局数据的仪表盘。至少，应根据定期更新的数据可用性来选择指标，并附有具体且

有资金支持的计划，说明更新方式和时间，并在捐助者资金终止时制定可持续性计划。利用公共技术（如 Tableau）在数据结构变化时自动刷新，可以支持维护定期更新且可持续仪表盘的过程。此外，持续的合作伙伴关系，如部委与非营利组织之间的合作，可以提供人员、技术专长和资金，超出最初的捐助支持。

互操作性应被批判性审视，特别是因为仪表盘在整合来自不同来源和行业的信息时最为有用。数字仪表盘也应以移动友好格式提供，因为许多低收入国家的终端用户很可能通过手机访问。例如，在加纳的培训课程中，大多数参与者选择在手机上访问仪表盘，而非台式机，凸显了确保手机兼容性的重要性。在缺乏这些条件的情况下，创建和维护仪表盘可能过于繁琐且效用性较低——除非开发过程专门针对这些维度的问题进行处理。在仪表盘泛滥的时代，政府、捐助方及其他相关方应仔细评估现有数据基础设施和人力资源是否足以支持有效且可持续的仪表盘实施。在许多情况下，加强现有数据系统或通信渠道可能比创建新仪表盘更有效。

从概念角度看，仪表盘设计应根据最终受众的需求和期望进行定制，无论是政策制定者、执行者、公众还是其他群体。基于我们在三个国家与参与者互动、在两个国家开发仪表盘的经验，以及对现有仪表盘设计和使用研究的回顾，我们提出了涵盖仪表盘开发初期阶段到实施的建议，适用于所有潜在受众（面板 2）。与其他研究一致，我们强烈建议让终端用户及其他相关方参与持续的协作过程。我们的经验进一步表明，仪表盘应以一个或多个明确目的为核心构建，并采用灵活设计以适应不断变化的需求和持续的用户反馈。应鼓励终端用户积极推动仪表盘目标。对终端用户进行全面的培训对于确保仪表盘的有效使用和解读非常重要，既在发布时提供，也随着时间推移，用户技能能够随着仪表盘的发展而调整。

综合来看，这些建议强调仪表盘并非独立解决方案。为了有效，仪表盘应成为更广泛的数据管理和能力建设包的一部分。在某些情况下，不同的数据呈现方式对决策者更为有用，比如简单地查看电子表格中的数据透视表。因此，需要考虑创建仪表盘的压力来源，以及仪表盘格式是否对国家最有用。未来研究应开发务实且具上下文感的评估方法，聚焦于过程指标，包括参与者参与度、信任和感知的有用性，作为比传统指标如健康结果和决策时间表更现实的成功标志。关于仪表盘科学的范围综述，聚焦评估方法、信任、参与度和系统影响，可能成为此类工作的宝贵基础。

第二组　　仪表盘开发与实施的建议

在更广泛的数据生态系统中进行调查与工作

发展

•首先评估仪表盘是否是支持决策的合适工具。在某些情况下，仪表盘可能并非必需。
•对更广泛的数据生态系统进行全面审查
•考虑仪表盘可能不是解决数据缺口的最佳方案
•优先提升整体数据系统，而不仅仅是仪表盘

实现

•促进各方协作，提升整体数据基础设施
•继续识别数据管理和分析能力的不足，并努力弥补这些不足

动员广泛的参与者，确保内容和设计符合目的

发展

•将终端用户定义为具体的机构、团体或个人，并根据他们的具体需求和期望开发仪表盘

•设计一个直接终端用户、数据管理者、政策行为者及其他相关参与者之间的协作流程，以获得早期的支持和共识

实现

•与演员团队紧密合作，确保持续的认可度
•持续收集并整合终端用户反馈，优化仪表盘功能
•让所有用户成为拥抱仪表盘宗旨并维护其功能的拥护者

优先考虑简洁和灵活性

发展

•在确定仪表盘试图随时间测量什么、可用数据以及在财务、数据相关和其他限制条件下可行性时，拥抱简洁性
•允许灵活设计以适应不断变化的用户需求和期望
•将用户测试纳入可视化功能
•确保仪表盘设计能够适应移动友好布局，并优化为低流量使用量，因为许多低收入和中等收入国家的用户通过移动网络访问仪表盘，互联网流量有限

实现

•定期回顾内容和设计决策，并准备根据终端用户需求的变化做出调整
•防止仪表盘变得过于复杂或被过度扩展以满足其他目标

评估数据来源及适当的更新频率

发展

•根据用户偏好，考虑是否更适合常规政府数据、家庭调查数据或其他来源数据
•选择那些数据定期、可预测且符合具体任务周期更新的指标
•规划仪表盘的更新方式（何时以及投入哪些人力、技术和财务资源）

实现

•根据需求、容量和目的规划更新频率，认识到有效的更新可以是实时、季度、每年等
•持续维护和定期更新，保持仪表盘的更新和更新

采用清晰且连贯的指示定义

发展

•每个指示器使用一个数据来源
•确保数据源对用户清晰，例如在用户将鼠标悬停在指标上时，会显示定义、数据源和年份

实现

•教育用户不同指标的可比性
•利用仪表盘倡导改进数据收集

评估互操作性，并在可能的情况下自动化数据集成

发展

•明确理解各部门的数据孤岛

•确保明确的指示器定义、互操作性和 ETL（提取、转换、加载）流程，以实现有效的数据集成
•在可能的情况下实现自动化流程（例如应用程序接口），以简化数据集成
实现
•协作推动流程提升互操作性，确保参与者看到使其系统互操作性的好处
•继续努力自动化更多数据源
广泛传播并监控采纳情况
发展
•调查参与协作过程的个人和组织，探讨潜在的传播方式
•制定传播计划
•制定计划定期监测使用情况
实现
•直接向终端用户传递仪表盘信息
•通过通讯、网络研讨会等持续宣传，保持用户参与度，而非依赖一次性公告
•将仪表盘整合进现有组的职责范围
可持续性和影响的预算与规划
发展
•为终端用户提供广泛的培训，教他们如何使用和解读仪表盘
•确保财务和人力资源投资长期可持续
实现
•持续提供培训和支持，确保有效利用和适应
•确保维护和使用资源整合进经常性预算行

6. 结论

尽管仪表盘有望成为提升决策、政策制定和问责制的工具，但其有效性高度依赖于国家的数据生态系统、政策流程的具体需求及相关的特定情境因素。我们在加纳、印度和南非的经验表明，仪表盘需要根据终端用户的独特需求精心定制，与支持政策流程保持一致，并整合进更广泛的数据生态系统。本观点通过详细阐述仪表盘开发、集成和使用的实际现实，促进现有文献，强调了参与者参与的重要性，以及仪表盘需要激发有意义的政策讨论，而非仅仅作为数据展示工具。进一步研究政策制定者如何与仪表盘互动，对于提升仪表盘作为有效政策工具的作用至关重要。研究应特别纳入所有参与仪表盘数据收集、维护或使用的本地专业人士和社区成员的观点。仪表盘应成为更广泛战略的一部分，包括稳健的平台集成、用户培训、适当的数据收集方法和可持续维护。通过拥抱全面的视角，政府和组织可以最大化仪表盘的效用，确保对更明智的政策决策和改善健康结果做出贡献。

译文二：

开发高性能内存数据库架构，用于关键患者护理中的智能视频监控

Ramesh Kumar Veerapaneni, Radhakrishnan Delhibabu ,

Alexey Subbotin , Nataly Zhukova

来源：Front Digit Health.

时间：2026 年 5 月

链接：https://doi.org/10.3389/fdgth.2026.1807507.

1. 引言

1.1. 现代计算中数据持久性的发展

过去二十年，数据存储格局经历了根本性变革，这主要由数据本身的变化驱动。历史上，关系数据库管理系统（RDBMS）如 OracleDB、Microsoft SQL Server 和 PostgreSQL 设计为事务一致性。这些系统依赖 ACID（原子性、一致性、隔离、耐久性）特性，确保财务账本和企业资源计划（ERP）记录保持纯净。它们利用 B 树索引和预写日志（WAL）来保证磁盘存储的数据完整性。虽然结构稳健，但该架构带来了显著的输入输出（I/O）开销，非常适合处理结构化数据的银行系统，但对于高速非结构流则不理想。

随着互联网时代的成熟，数据量激增，催生了“NoSQL”革命。像 MongoDB、CouchDB 和 Cassandra 这样的系统放弃了僵硬的模式，转而采用灵活的 JSON 或 BSON 文档存储。这些系统优先考虑 CAP 定理中的可用性和分区容忍度，而非严格一致性，实现大规模的水平扩展。例如，MongoDB 擅长存储来自 Web 应用和物联网设备的异构数据。然而，即使是 NoSQL 数据库，也常依赖标准的文件系统调用和垃圾回收程序，这会引入非确定性的延迟尖峰——这在实时生命安全系统中是一个致命缺陷。

1.2. 现代医疗数据洪流

医疗物联网（IoMT）和智能视频监控的整合进临床工作流程，引发了数据速度和量的巨大激增。现代医院不再是单纯的物理设施，而是每天产生数 TB 数据的复杂网络物理系统。这些数据是异构的，从标量生命体征（心率、血氧）到高维矢量数据（视频流、热成像）。

关键挑战不在于数据的捕获，而在于其存储和检索的速度。传统的 RDBMS 架构设计注重事务完整性，而非视频事件日志的高速、仅附加功能。虽然它们提供了稳健的一致性，但交易日志、锁定机制和磁盘 I/O 调度的开销为实时 AI 分析带来了不可接受的延迟（见图 1）。

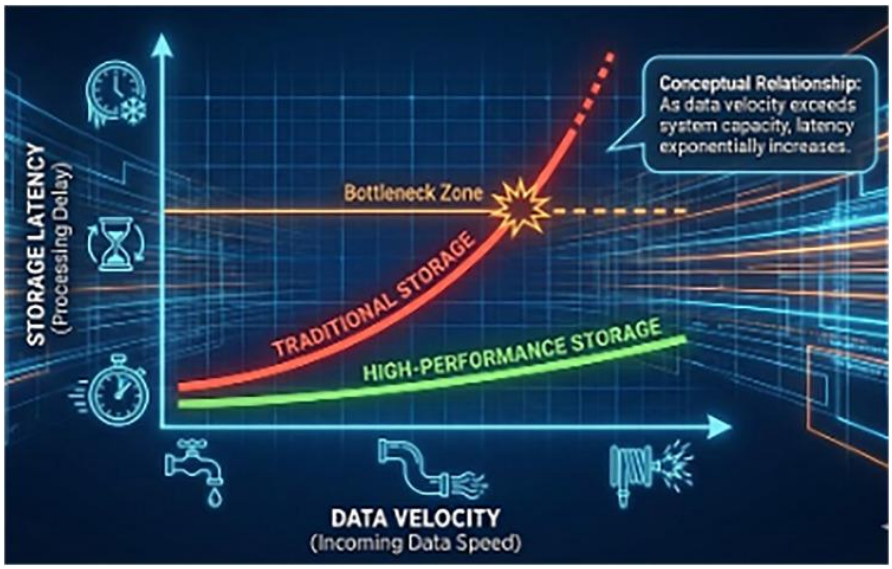

图 1 传统架构中数据生成速度（视频分析）与存储提交延迟间差距日益扩大

1.3. 智能视频监控（IVS）的具体挑战

智能视频监控代表了“大数据”问题的一种独特类别。与典型的“大量读取”（大量用户查看内容）的网页应用不同，监控系统是“写入密集”（持续录制）。当加入人工智能（AI）用于患者监测时，数据配置文件再次发生变化。它变成了“写入密集型、计算密集型和延迟关键型”。

在现代“智能医院”病房中，摄像头不仅录制视频;它们充当传感器。卷积神经网络（CNN）以每秒 30 – 60 帧（FPS）的速度处理帧，提取患者姿势、心率（通过远程光电容描记）和未经授权的输入等元数据。这会产生大量元数据事件流。例如：

- **高速：**30 FPS × 16 台相机 = 每秒 480 次潜在插入操作。
- **临界性：**标记为“心室颤动”或“跌倒检测”的事件必须持续并立即可视化。

标准数据库管理系统架构在这方面表现不佳。RDBMS B 树因高频序列插入而变得碎片化，导致索引重新平衡的成本。NoSQL JSON 解析会给每个事务增加 CPU 开销。表 1 突出了这些建筑上的不匹配。

表 1 架构不匹配：传统数据库管理系统与监控需求

需求	关系数据库管理系统（Oracle/MySQL）	NoSQL（Mongo/Cassandra）	监控需求
写吞吐量	受限于 ACID 锁定和磁盘 I/O 寻道时间。	高，但存在序列化/反序列化开销。	极端（持续附注）。必须最小化每次写入的 CPU 周期。
数据结构	硬桌。架构更改成本很高。	灵活的 JSON。适合多样化元数据。	半结构化。固定头部（时间、ID）+ 灵活的有效载荷。
延迟一致性	可预测但速度缓慢（10 – 100 毫秒）。	由于 GC 暂停（5 – 200 毫秒）而不可预测。	确定性实时（<1 毫秒）。
主要瓶颈	磁盘输入输出	CPU（解析）	内存带宽

1.4. 重症护理中的延迟限制

在临床环境中，生理事件与医疗干预之间的时间至关重要。我们将“延迟临界窗口”定义为数据持久性和可视化的最大允许延迟。对于心室颤动或术后输管脱位等情况，超过 1-2 秒的延迟——在盘束缚的 RDBMS 中常见于 log 冲洗阶段——可能影响患者预后。

1.5. 实时诊断中的延迟差距

在患者监测的背景下，“实时”是一个严格的限制。如果计算机视觉算法检测到“跌倒事件”或“心脏骤停”，系统必须记录该事件，并在毫秒内在护士站触发可视化警报。数据库写锁定导致的延迟甚至 2 秒也可能带来不利影响。当前架构通常采用混合方法：

- **SQL 系统：**用于患者记录和行政数据。稳定但对事件流来说速度较慢。、
- **NoSQL 系统：**MongoDB 或 Cassandra 用于非结构日志。速度更快，但经常会有“垃圾回收”暂停和网络开销的问题。
- **内存缓存：**用于缓冲时使用的是 Redis 或 Memcached。速度快，但传统上波动大且规模受限。

1.5.1. 案例研究：“黄金时刻”情景

为了理解毫秒潜伏数据库的必要性，可以考虑中风和创伤护理中的“黄金一小时”临床概念，其中时间与组织存活率直接相关。

1.5.1.1. 情景：术后 ICU 监测

*背景：*一名 65 岁的心脏搭桥手术患者正在重症监护室恢复。患者由智能摄像头系统监测，经过训练能检测“躁动”和“输液管脱落”（一种常见且危及生命的并发症）。

1.5.1.2. 传统 SQL 环境中的事件链

- **T + 0 毫秒：**病人拉扯插管。
- **T + 50 毫秒：**AI 模型（运行在边缘 GPU 上）以 95%的置信率检测到该动作。
- **T + 60 毫秒：**系统尝试将这个“关键警报”写入 SQL 数据库。
- **T + 250 毫秒（延迟）：**由于来自其他床位的成千上万条常规“心率正常”日志，数据库正在进行事务日志备份或索引重新平衡。写操作被排队。
- **T + 400 毫秒：**写入提交。
- **T + 500 毫秒：**Nurse Station 仪表盘会轮询数据库（刷新率 1 秒）。
- **T + 1,500 毫秒：**护士看到了警报。此时，管子可能完全脱落，导致缺氧。

1.5.1.3. 高速 RAM 环境中的事件链（提议）

- **T + 0 毫秒：**病人拉动管子。
- **T + 50 毫秒：**人工智能能检测行动。
- **T + 51 毫秒：**系统写入基于内存的“子数据库”。没有锁定，没有磁盘输入输出。
- **T + 60 毫秒：**警报通过 DB 写入触发的直接插座连接推送到护士的可穿戴设备。
- **结果：**干预速度快 1.4 秒。在血流动力学危机中，这一差距显著。

1.6. 硬件赋能器：向内存计算的转变

近年来，将整个监控数据库存储在 RAM 中的可行性发生了巨大变化。2010 年，服务器 RAM 价格昂贵（每 GB 约 100 美元）。如今，普通服务器可以轻松支持 512 GB

或 1 TB 内存。这一转变使我们能够重新思考数据库的基本假设：“磁盘用于存储，RAM 用于缓存”。对于 24 小时循环的监控元数据（不包括原始视频文件，这些文件会存储到磁盘存储），事件日志可舒适地容纳在 4–8 GB 的内存范围内。这一认识是我们提出解决方案的基石。通过将 RAM 视为主要持久层（并支持异步磁盘），我们可以实现仅受系统总线带宽限制的速度，而非机械硬盘头或 NAND 闪存控制器。

1.7. 新颖性、贡献与范围

1.7.1. 新颖性

虽然内存数据库系统（IMDBS）如 SAP HANA 和 REDIS 已经建立起来，但它们会产生“通用税”——即查询解析（SQL/MQL）、网络协议（TCP/IP）和并发控制（MVCC）的开销，以支持广泛的用例。SubDataBase-0.91s 的新颖之处在于*其任务特定*性。通过使用无锁的环形缓冲区，采用直接指针算术，并通过共享内存完全绕过操作系统网络栈，我们实现了通用系统物理上无法实现的延迟。

1.7.2. 贡献

- **建筑：**一个零拷贝、内存映射的存储引擎，优化为仅附加视频元数据。
- **安全协议：**一种“有界波动性”模型，优先考虑可视化延迟而非即时磁盘耐久性，认为实时可视性是急性护理中的主要安全指标。
- **实证验证：**基准测试显示，在物联网特定工作负载中，吞吐量比 MySQL 提升了 8.6 倍，比 Redis 提升了 22%。

1.7.3. 范围

该系统严格设计用于*高速*、*仅附加*的流（例如视频分析、患者生命体征）。它*不*适用于复杂的分析查询（OLAP）、计费或库存管理，而传统符合 ACID 标准的 SQL 数据库仍占优。

1.8. 数据库范式比较

要理解定制解决方案的必要性，我们必须分析现有范式的结构性局限性。表 2 展示了医疗系统架构师面临的权衡。本文提出了一个激进的简化方案：一个专门设计的驻留 RAM 存储引擎，绕过操作系统的文件缓存和网络栈开销以实现本地操作，仅同步磁盘以实现持久化。该方法专门针对监控堆栈中的“事件”层和“帧元数据”层。

表 2 视频监控数据库范式的比较分析

特色	关系数据库管理系统（SQL）	NoSQL（文档）	提案（内存原生）
数据模型	刚性表	灵活的 JSON/BSON	固定大小的内存块
主要瓶颈	磁盘输入输出	串行化开销	总线带宽
一致性	强（ACID）	最终（BASE）	放松（优先速度）
查询语言	复杂（SQL）	API / MQL	直接指针访问
理想使用场景	账单与记录	网络日志、目录	高频事件

本文其余部分结构如下：第二部分回顾了现有关于监控存储系统的文献，并识别了关键的架构空白。第三节数学上表述了延迟约束，并分析了传统数据库管理系统中的写入放大瓶颈。第 4 节介绍了 SubDataBase-0.91s 的高级架构，重点介绍零拷贝内存模型。第 5 节详细介绍了核心实现，包括无锁环缓冲区和异步持久化策略。第 6 节提供了医院部署的真实案例研究。第 7 节介绍了严格的实验基准、有效性分析和消融研究。最后，第 8 节总结了论文，并概述了硬件加速的未来方向。

2. 相关产品

智能视频监控（IVS）领域处于计算机视觉、网络工程和数据库管理的交叉点。尽管图像识别算法（如 YOLO、ResNet）取得了重大进展，但底层存储基础设施大多停滞不前，依赖于不同时代计算开发的范式。本节回顾了商业生态系统的现状，分析学术提案，并指出了需要开发专用内存数据库管理系统的关键漏洞。

2.1. 商业监控生态系统与架构限制

目前全球视频监控市场由硬件与软件集成解决方案主导，优先考虑容量而非速度。这些系统通常分为三大架构类别：传统 NVR/DVR、云托管和混合企业解决方案。

2.1.1. 网络录像机（NVR）与文件系统分片

像 Ginzzu 和 IVUE 这样的系统代表了标准的消费级和中小企业（SMB）层级。这些架构通常依赖运行嵌入式Linux 的专用硬件设备，直接将数据写入 SATA 机械硬盘。

- **写作机制：**这些系统将视频流视为连续文件写入。虽然对简单录制有效，但当分析过程试图读取过去事件时，摄像机同时写入新帧，会受到严重的“寻点时间”惩罚。
- **碎片化：**随着时间推移，文件系统（通常是 EXT4 或 XFS）会变得碎片化。在医疗环境中，如果“坠落事件”会突然爆发对最后 30 秒视频的读取请求，机械硬盘的头无法在写入扇区（入流）和读取扇区（历史证据）之间物理移动足够快，导致帧丢失或系统卡顿。

2.1.2. 基于云的解决方案与延迟惩罚

像 Ezviz、Camdrive 以及各种 VSaaS（视频监控即服务）供应商将存储负担转嫁给公共云（AWS S3、Azure Blob Storage）。

- **协议开销：**这些系统通常将视频封装为 HLS（HTTP 直播流）或 RTMP 协议。将视频分割成块（例如，2 秒.ts 文件）引入了固有的延迟。
- **关键故障模式：**在“智能 ICU”中，依赖外部互联网连接是不可能的。如果存储层位于远程数据中心，网络分区事件将使坠落检测算法失效。

2.1.3. 企业与混合解决方案

海康视界（HiWatch）和大华的高端解决方案采用复杂的 RAID 阵列和缓存层级结构。然而，他们的内部数据库是专有的“黑匣子”。这种封闭架构阻碍了与定制医疗 AI 模型（如术后恢复的具体姿势检测）深度集成，迫使医院依赖可能无法实时原始数据处理的通用 API。表 3 总结了这些主流商业架构的技术瓶颈。

表 3　现有商业监控架构的技术限制

建筑	主存储介质	写入机制	医疗适宜性风险
标准 NVR（Ginzzu，	SATA 硬盘	直接块写入（顺	**高。**机械寻道延迟阻止了 AI 的同时

建筑	主存储介质	写入机制	医疗适宜性风险
IVUE）	（5400/7200 转）	序）	分析和记录。
Cloud VSaaS（Ezviz，Camdrive）	对象存储（S3/Blob）	REST API/HLS 分块	**非常关键。**网络延迟（>2 秒）和对广域网可用性的依赖违反了实时安全要求。
企业混合动力（海康视）	RAID 5/6 阵列	专有索引	**中等。**供应商锁定阻碍了针对特定医疗人工智能数据结构的优化。

2.2. 通用数据库范式的局限性

除了商业设备外，系统架构师常尝试利用通用数据库构建定制监控堆栈。然而，SQL 和 NoSQL 范式在应用于高速视频元数据时都存在特定摩擦。

2.2.1. 关系数据库管理系统阻抗不匹配

关系数据库管理系统（RDBMS）如 OracleDB、MySQL 和 PostgreSQL 是为满足原子性、一致性、隔离性和耐久性（ACID）而设计的。

- **交易开销：**为确保一致性，RDBMS 引擎采用了写入预先记录（WAL）和行级锁定。对于每秒产生 1000 个元数据事件的监控流，每次插入时锁定“EVENTS”表的开销会产生“护航效应”，即读者线程（医生仪表盘）被写入线程（摄像头）阻挡。
- **指数再平衡：**随着主键（时间戳）单调增长，B 树指标必须不断重新平衡。这种维护操作消耗了大量 CPU 周期，与同一服务器上的 AI 推理引擎竞争。

2.2.2. NoSQL 和时间序列数据库

文档存储（MongoDB）和时间序列数据库（InfluxDB、TimescaleDB）提供了更好的写入吞吐量，但也带来了新的问题：

- **序列化成本：**MongoDB 将数据存储在 BSON 中。每一次“插入”和“读取”操作都需要 CPU 对二进制对象进行串行化/反串行化。在我们的测试中，这种解析开销占了总交易时间的 30%。

- **垃圾回收：**许多 NoSQL 系统中使用的托管内存语言（Java/Go）存在“停止世界”垃圾回收暂停的问题。200 毫秒的 GC 暂停对网页应用来说可能可以接受，但在心脏监测中，这意味着 6 帧关键数据的丢失。

2.3. 高性能存储领域的学术研究

学术文献已探讨过存储优化的各个方面，尽管很少关注医疗领域的内存驻留性。

2.3.1. 分析感知存储

马等人提出了优化检索的存储系统，利用元数据标记加快取证搜索速度。然而，他们的方法侧重于*事后*分析（例如，“查找昨天所有的红色汽车”），而非*实时*可视化（例如，“如果患者跌倒立即通知我”）。其模型中用于优化磁盘写入的缓冲机制实际上增加了实时事件的可见时间。

2.3.2. 边缘计算与数字孪生

Rajavel 等人以及其他几位研究者探索了边缘计算架构，其中处理发生在传感器附近。虽然它们成功从中央服务器上卸载了 CPU 任务，但通常忽略了存储层，假设本地 SQLite 或文本文件日志就足够了。我们的研究表明，随着边缘人工智能变得越来越复杂（每人追踪 50+个骨骼点），本地存储 I/O 成为新的瓶颈，即使在边缘也需要像 SubDataBase-0.91s 这样的高性能引擎。

2.4. 案例研究：混合系统中存储失效的解剖学

为了说明传统架构的关键故障模式，我们分析了一个采用混合 SQL/Redis 架构的智能医院试点部署中已记录的故障场景。

情景：在 12 床病房进行的“蓝色代码”（心脏骤停）模拟。

- **系统配置：**12 台 IP 摄像头（4K 分辨率），连接到运行 MySQL 8.0 的中央服务器以存储日志，并用 Redis 进行实时缓存。
- **触发事件：**在 ，三个独立床的演员同时模拟求救以测试系统。

- **Cascade 失败：**
  - ms：计算机视觉模块检测了三个流中的事件，生成了大量高分辨率快照和元数据。
  - ms：该应用程序尝试将这些大型二进制对象（BLOB）写入 MySQL，同时将元数据推送到 Redis。
  - ms：MySQL 配置了标准 ACID 安全，启动了 BLOB 数据的磁盘刷新。磁盘 I/O 队列长度激增至 100+。
  - ms：CPU 在等待磁盘 I/O 中断（I/O 等待）时，取消了 Redis 线程的优先级。
  - ms：护理站仪表盘等待数据库确认事件“提交”的信号，终于刷新了。
- **结果：**

视觉化延迟 2 秒。在真实心脏事件中，这种潜伏期阻碍了立即干预。这一失败表明，将缓存（Redis）“附加”到基于硬盘的系统（MySQL）上，并不能消除 I/O 争用的阻塞性质（如图 2 所示）。

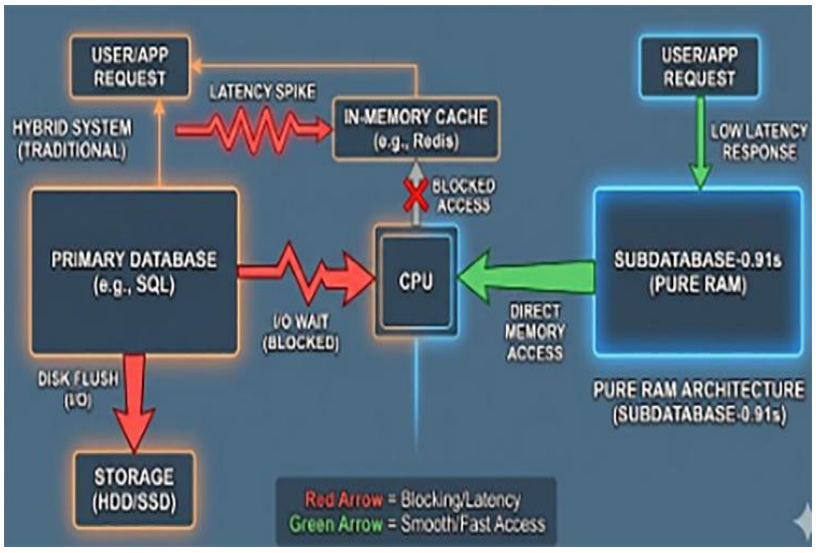

图 2 传统架构中数据生成速度（视频分析）与存储提交延迟差距日益扩大

混合系统中的输入输出争用。该图展示了主数据库中的磁盘刷新操作如何阻挡 CPU，导致即使是相关的内存缓存也会出现延迟尖峰，而这一现象被 SubDataBase-0.91s 的纯 RAM 架构所避免。

2.5. 差距分析

现有文献和商业产品基本上将数据库视为“黑箱”组件，假设标准调优参数可以解决延迟问题。专门设计用于 AI 视频流写入模式的存储引擎的研究明显稀少。

该数据流的独特特征包括：

- **持续附加：**数据很少更新，只会插入。
- **短期关键性：**过去 60 分钟的数据是超关键的;24 小时前的数据是档案。
- **波动容忍度：**在服务器灾难性断电中，如果最后 1 秒的数据丢失能保证正常运行时延迟接近零，则是可以接受的。表 4 突出了我们解决方案相较于最先进技术所弥补的具体不足。

表 4 研究缺口分析：特征与现有解决方案的比较

特色	**技术现状（研究）**	**商业标准**	**由 SubDataBase 处理**
存储介质	SSD/NVMe 优化	硬盘 RAID 阵列	**纯内存**（带异步磁盘转储）
数据访问方法	SQL/NoSQL 查询语言	文件系统/专有 API	**直接内存句柄**（指针算术）
延迟目标	<100 毫秒	<500 毫秒	**<1 毫秒**
顶销消除	索引/缓存算法	硬件加速	**操作系统网络栈和 ACID 锁移除**

本文通过介绍“SubDataBase-0.91s”的架构和实现来填补这些空白，该系统摒弃了普遍性，转而追求极端的领域特定性能。

2.6. 与企业内存数据库系统的比较

虽然通用的 NoSQL 系统（如 Redis、MongoDB）在 Web 栈中很常见，但企业级内存数据库系统（IMDBS）如 SAP HANA、VoltDB 和 Microsoft SQL Server Hekaton 则为高性能事务树立了标准。然而，其架构在基于边缘的视频监控方面存在特定局限：

- **SAP HANA 和 Hekaton：**这些系统利用多版本并发控制（MVCC）来维护 ACID 的保证。虽然对财务 OLTP（网络在线处理）有效，但维护行版本和废弃回收版本的开销会在典型的监控流中高速仅附加写模式中引入非确定性延迟尖峰。
- **VoltDB：**VoltDB 通过基于分区的串行化实现高吞吐量。然而，它需要严格的模式定义和确定性存储过程。在 AI 模型元数据结构变化（例如新增生命体征）的动态医疗环境中，VoltDB 模式演进的僵化性导致维护瓶颈，相较于我们提出的基于填充的灵活性。

我们提出的架构与这些系统不同，放宽了严格的 ACID 特性——特别是隔离性和耐久性——转而采用无锁环形缓冲架构，保证写入复杂性，这对于医院病房中资源受限的边缘设备至关重要。

3. 问题定义

智能视频监控（IVS）在医疗领域设计存储的挑战不仅仅是容量问题;这是一个涉及时间一致性和高并发吞吐量的复杂问题。与遵循可预测日夜模式的标准 IT 工作负载不同，医院监测数据是随机且突发的。本节数学化了延迟约束，分析传统数据库管理系统中的“写入放大”现象，并建模了高负载下的系统故障点。

3.1. 系统延迟的数学表述

在重症监护环境中，从物理事件发生到其在医疗显示屏上显示的总延迟必须最小化。我们将该延迟定义为连续处理阶段的总和（见方程 1）：

$$L_{\text{total}} = T_{\text{cam}} + T_{\text{net}} + T_{\text{inference}} + T_{\text{db\_write}} + T_{\text{vis}} \tag{1}$$

其中：

- T_{cam}：硬件延迟（曝光+编码）。通常为15-30毫秒。
- T_{net}：网络传输时间（摄像头到服务器）。局域网通常为5-10毫秒。
- $T_{\text{inference}}$：神经网络处理时间（例如，YOLOv8/ResNet）。在现代GPU上，这是确定性的（20毫秒）。
- $T_{\text{db\_write}}$：将事件元数据持久化到存储引擎所需的时间。
- T_{vis}：客户端应用程序（仪表盘）的轮询间隔。

3.1.1. 可变延迟 db_write

虽然 cam、net 和 inference 相对恒定，但在 db_write 传统关系数据库管理系统中变化很大，且依赖于当前系统负载。它可以如方程 2 所示建模：

$$T_{\text{db\_write}} = T_{\text{seek}} + T_{\text{rot}} + T_{\text{transfer}} + T_{\text{lock}} + T_{\text{log}} \quad (2)$$

在标准的基于硬盘的SQL场景中：

- T_{seek}（寻道时间）：5–10毫秒（机械臂运动）。
- T_{rot}（旋转延迟）：4毫秒（转速7,200转/分时）。
- T_{lock}（行锁定）：可变（争用期间从0毫秒到>500毫秒）。
- T_{log}（WAL/Binlog 同步）：额外的 I/O 开销以符合 ACID 标准。

随着事件到达率接近磁盘的服务率，队列中的等待时间呈指数增长（见图 3 中的延迟与吞吐量曲线）（方程 3）：

$$W_q = \frac{\lambda}{\mu(\mu - \lambda)} \quad (3)$$

我们的目标是取代机械服务率μ_{disk}采用电子服务费率μ_{ram}，其中$\mu_{\text{ram}} \gg \lambda$，有效强迫 $W_q \to 0$.

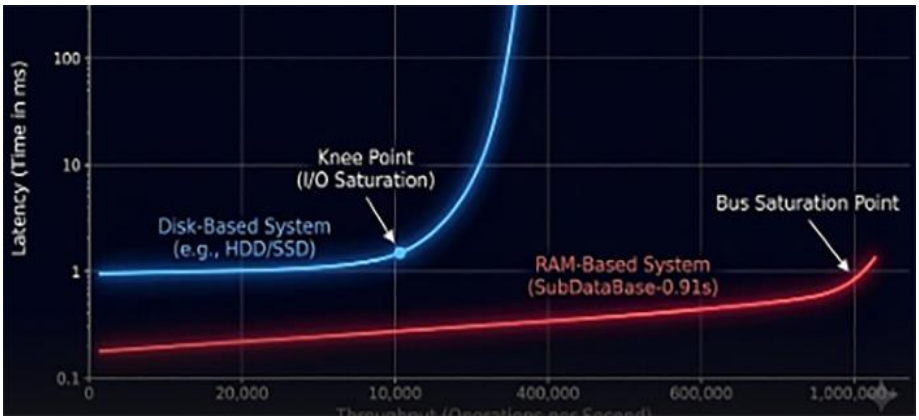

图 3 延迟与吞吐量曲线

概念图展示了“膝点”，即基于磁盘的系统（蓝线）在达到 I/O 饱和后进入指数级延迟增长。基于 RAM 的系统（红线）在总线饱和前保持线性低延迟，而总线饱和时高出数量级。

3.2. 数据海啸：吞吐量量化

要理解问题的规模，我们必须量化现代“智能医院”的数据生成率。表 5 展示了不同部署规模下的 IOPS（每秒输入/输出操作数）要求，假设每个帧都被分析以生成潜在元数据（例如通过面毛细血管分析实现的连续心率监测）。

表 5 按医院规模预测 IOPS 需求

比例	摄像机	第一人称射击	赛事/安全（高峰）	Req. SQL IOPSa
单病房（ICU）	16	30	480	≈2,400
科室（ER）	64	30	1,920	≈9,600
全医院	500	30	15,000	≈75,000
多站点网络	2,000	30	60,000	≈300,000

a 假设写入放大因子为 5×用于索引 SQL 表。

如图所示，单个部门每秒产生近 2000 次逻辑写入。标准 SATA SSD 通常饱和约 10,000 随机 IOPS，这意味着单个科室服务器仅仅为了维持基线记录就已接近理论极限，医生无法读取查询。

3.3. “写入放大”瓶颈

使用 RDBMS 进行监控的一个关键且常被忽视的方面是“写入放大”。当监控应用对事件执行一次逻辑“插入”时，数据库引擎会执行多个物理 I/O 操作：

- **数据页写道：**写入实际的行数据。
- **主密钥索引更新：**重新平衡 ID 的 B 树。
- **二级指数更新：**更新“PatientID”、“Timestmp”或“EventType”的索引。
- **交易日志（WAL）：**添加到重做日志中以增加耐久性。
- **日志/日志：**档案记录。

该放大因子≈5 意味着 100 MB/s 的元数据流会导致 500 MB/s 的物理磁盘压力。相比之下，我们提出的内存内架构采用直接内存寻址。

3.4. 案例研究：“雷鸣般的群体”失效模式

为了展示当前架构的脆弱性，我们定义了一种针对大规模伤亡或紧急场景的失效模式，称为“雷鸣群”。

3.4.1. 剧情

发生外部紧急情况（例如火警测试或地震震动）。

- **正常状态：**在 40 床病房中，通常 1-2 名患者同时搬动。事件。
- **触发点：**外部刺激会使 40 名患者中有 35 人同时移动或醒来。
- **峰值负载：**所有 40 个摄像头在同一毫秒内触发“运动”、“姿态变化”和“声音”事件。 peak=1,200 事件。

3.4.2. SQL/混合系统中的故障分析

- 同时进行的“插入”请求进入了“事件”表。
- 数据库引擎锁住表页以保持 ACID 一致性。
- 请求排队。I/O 缓冲区会被填满。
- **关键是，**来自护士站（试图查看发生了什么）的“已读”查询被屏蔽在“写入”队列后面。
- **结果：**仪表盘在最需要的时候会卡住。

3.5. 读写争论悖论

问题的最后一个维度是需要同时进行大量阅读和大量写作。在“数字孪生”医院模型中，数据库不仅仅是档案;它是实时 3D 仿真的状态引擎。

- **写作者流程：**32 台摄像头每 33 毫秒推送状态更新（x、y、z 员工和患者的坐标）。
- **读者流程：**数字孪生引擎每 100 毫秒轮询数据库以渲染 3D 视图。

在锁定数据库中，读者和写者争夺的是相同的资源。这种观点导致了“陈旧数据”可视化，数字孪生比物理现实落后数秒，导致安全和医护人员感到迷失。因此，问题定义是设计一个将读者性能与写入量解耦的系统。

3.6. 建筑需求摘要

基于上述分析，重症监护的可行解决方案必须满足以下严格标准：

- **确定性潜伏期：**第 99 百分位。
- **零锁定：**读者绝不能被作者屏蔽。

- **高并发：**支持普通硬件上的 TPS。
- **简洁：**消除消耗 CPU 周期的开销（如 SQL 解析、JSON 序列化）。

现有的商业和开源解决方案未能同时满足这四个标准中的至少两个，这也促使 SubDataBase-0.91 的开发成为必要。

4. 视频监控存储系统

存储层的架构是智能视频监控（IVS）系统性能的主要决定因素。摄像头硬件决定图像质量，AI 模型决定检测精度，而存储引擎决定系统的“响应性”。本节拆解标准存储模型，数学上量化其低效性，并详细介绍拟议内存驻留方案的结构设计。

4.1. 标准关系数据模式

大多数商业监控系统（如 Milestone、Genetec、自定义 SQL 实现）依赖经典“三支柱”关系模式的变体。这种结构设计用于引用完整性，但在高速写载下会成为负担。

广义模式由三个主要实体组成，如图 4（占位符）所示：

- **用户表（“users_tbl”）：**管理基于角色的访问控制（RBAC）。它将医生与特定病房连接，并执行隐私约束（例如，GDPR/HIPAA 合规）。
- **设备表（“devices_tbl”）：**存储摄像头网络的静态配置数据，包括 IP 地址、MAC 地址、RTSP 流 URL 和固件版本。
- **事件表（“events_log”）：**高速事务表。它连接“用户”、“设备”和时间序列元数据。

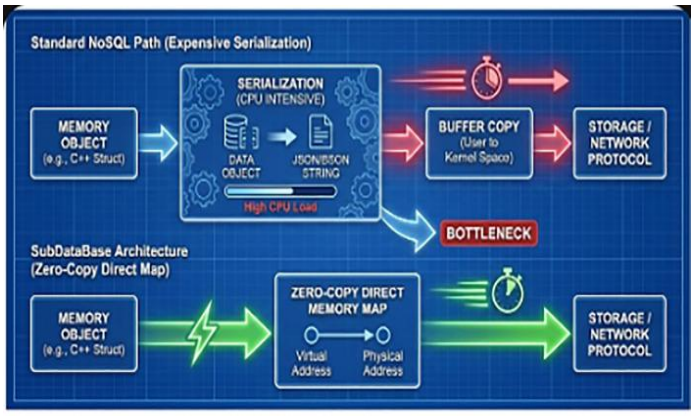

图 4 串行化的瓶颈

标准 NoSQL 系统（顶路径）需要昂贵的 CPU 步骤将内存对象转换为存储格式。SubDataBase 架构（底部路径）使用“零复制”直接内存映射。

4.1.1. “胖表”问题

在标准 SQL 实现中，“events_log”表通常包含以下列：“ID”（BigInt）、“Timestamp”（DateTime）、“CameraID”（FK）、“EventType”（Varchar）、“Confidence”（Float）、“SnapshotPath”（Varchar）和“Metadata”（JSON/文本）。

随着系统扩展到 500+摄像头，该表每天增长数百万行。“时间戳”列上的 B 树索引变得非常庞大。当“插入”发生时：

- 数据库引擎必须遍历 B 树以找到正确的叶节点。
- 如果页面已满，会发生“页面分割”，导致树结构被锁定。
- 这种锁定机制会产生“微停滞”（50 – 200 毫秒），破坏实时性能。

4.2. 案例研究：模式迁移中断

在敏捷医疗环境中，关系数据库的一个关键失效模式是“模式锁定”。

4.2.1. 剧情

一家医院更新其人工智能模型，检测一个新参数：“血氧估计”（SpO2）。这需要在现有的“events_log”表中添加一个新列“spo2_val”。

- **系统状态：**“events_log”表包含 2 亿行（约 500 GB）。
- **操作：**DBA 执行“ALTER TABLE events_log ADD COLUMN spo2_val float”；
- **结果：**在 MySQL（以及许多其他 RDBMS）中，该操作将整个表复制到临时文件以重建结构。
- **结果：**该表被锁定，写入时间为 4 小时。在此期间，不会记录新的跌倒检测或心脏警报。监控系统实际上处于盲区状态。

我们提出的解决方案通过使用固定大小的内存块并保留填充，避免了运行时的“模式迁移”概念。

4.3. 序列化的计算成本（JSON/BSON）

现代“无模式”数据库（如 MongoDB、PostgreSQL JSONB）试图通过将数据存储为文档来解决模式刚性问题。虽然灵活，但这引入了一个隐藏的计算税：序列化。

对于写入 NoSQL 数据库的每一个事件，CPU 必须执行以水线（定义于方程 4）：

$$T_{\text{write}} = T_{\text{alloc}} + T_{\text{serialize}} + T_{\text{socket}} + T_{\text{ack}} \quad (4)$$

其中 serialize 是将内存对象（struct）转换为基于文本的（JSON）或带二进制标签的（BSON）字符串所需的时间。

4.3.1. 数学比较

- **Struct（C++）：**记忆复制。成本 ≈0 周期（CPU 流水线优化）。
- **JSON：**字符串解析、键匹配、逃逸。每个物体的成本 ≈5,000 +周期。

表 6 基于我们对标准“患者跌倒”事件对象的分析量化了这一开销。

表 6 序列化开销比较（每 100 万事件）

节目形式	数据大小	解析时间	CPU 负载	吞吐量上限
JSON（文本）	450 MB	8.2 秒	高	≈12 万 OPS
BSON（二进制）	510 MB	3.1 秒	媒介	≈32 万 OPS
XML（Verbose）	980 MB	14.5 秒	非常高	≈6 万作战
SubDB（结构式）	**128 MB**	**0.0 秒**	**几乎可以忽略不计**	**>10 百万 OPS**

粗体值表示所提议子数据库架构所实现的最佳性能指标。

如所示，灵活性的“开销”是理论吞吐量的 95%减少。对于已知数据结构（时间、位置、类型）的专用安全系统，这种灵活性是不必要的。

4.4. 拟议解决方案架构：SubDataBase-0.91s

为解决被发现限制，锁定、模式刚性和序列化，我们开发了“SubDataBase-0.91s”。该架构模仿了高频交易（HFT）引擎的设计，而非网络数据库。

4.4.1. 直接内存映射（零拷贝输入输出）

核心创新是绕过操作系统内核的网络协议栈。在标准设置中（例如连接到本地主机 MySQL），数据传输路径为：“应用用户缓冲区 内核缓冲区 TCP 堆栈 内核缓冲区 数据库缓冲区。”

SubDataBase 使用共享内存模型（或在 Windows/Linux 中使用内存映射文件）：“App -¿ 共享内存 -¿ 数据库读取器。”

这将延迟下限从（TCP 环回）降至（RAM 访问），物理传输速度提升了 2000 倍。

4.4.2. 环缓冲实现

为了管理 RAM 的有限性（例如 16 GB 限制），存储引擎实现了一个“环形缓冲区”（环形队列）。

- **结构：**一个预先分配的“事件结构体”阵列。
- **指针算术：**两个指示，“正面”（写入）和“反面”（档案）。
- **覆盖逻辑：**当“正”与“反面”相遇时，最早的数据会被严格覆盖。这保证了系统*不会*因“磁盘空间不足”错误而崩溃——这是 NVR 中常见的故障。

列表 1：C++ 监控事件结构定义 —

```
// 固定大小结构（128 字节对齐）
struct EventRow {
    uint64_t timestamp; // 8 bytes (Unix Epoch Nanoseconds)
    uint32_t camera_id; // 4 bytes
    uint16_t event_type; // 2 bytes (Enum: FALL, ARRHYTHMIA, etc.)
    uint16_t confidence; // 2 bytes (0-10000)
    float vital_sign_val; // 4 bytes (e.g., Heart Rate)
    char meta_tag[32]; // 32 bytes (Short description)
    uint64_t frame_ptr; // 8 bytes (Pointer to raw video on disk)
    char padding[68]; // 68 bytes (Reserved for future schema expansion)
};
```

通过在结构定义中包含“填充”字节，我们解决了第 4.2 节讨论的“模式迁移”问题。如果以后需要添加新字段，我们只需从填充中获取字节，无需重构表，也无需任何停机时间。

4.4.3. 异步持久化（“懒写”策略）

虽然操作数据库存储在 RAM 中，持久化则由一个被称为“影子写入者”的独立线程处理。

- **操作：**每 1 秒（可配置），影子写入者会对新的脏页进行一次“memcpy”，发送到 NVMe SSD 缓冲区。
- **崩溃恢复：**重启时，系统会“mmap”将文件重新加载到内存中。最大数据丢失窗口由刷新间隔（1 秒）限制，这对于获得实时分析能力的权衡是可接受的。

4.5. 结构优势总结

表 7 总结了拟议架构如何专门针对前几代的故障模式。

表 7　架构比较：子数据库与遗留系统

特色	Legacy（SQL/NoSQL）	SubDataBase-0.91s
拓扑结构	客户端-服务器（TCP/IP）	共享内存（直接访问）
数据完整性	酸性（强稠度）	速度优先（最终持久性）
内存管理	垃圾收集/手册	预分配环形缓冲区
延迟配置文件	随机（锁引起的尖峰）	确定性（线性） $\mathcal{O}(1)$
模式变更	阻塞“ALTER TABLE”	非阻塞填充的使用

该设计将瓶颈从磁盘 I/O 控制器转移到 DDR4/DDR5 RAM 总线，有效解决了未来十年医疗监控扩展的吞吐量挑战。

5. 问题解决方案：SubDataBase-0.91s 实现

为了解决问题定义中指出的延迟瓶颈——特别是通用数据库 IOPS 与监控吞吐量要求之间的不匹配——我们设计并实现了“SubDataBase-0.91s”。本节详细介绍了引擎的内部机制，重点关注其内存寻址逻辑、并发模型以及实现确定性微秒级延迟的具体算法。

5.1. 核心引擎架构

SubDataBase-0.91s 的基本设计理念是“硬件协同编程”。与将硬件细节抽象化在查询优化器和虚拟机层级后面的通用数据库不同，SubDataBase 紧密耦合于底层的 x86-64 内存架构。

该发动机由三个主要部件组成：

- **记忆位面：**一个静态分配的连续内存块，作为主要数据存储。
- **访问把手：**一个轻量级的 C++ API，提供直接指向内存平面的指针访问，绕过操作系统网络栈。
- **坚持恶魔（暗影作家）：**一个异步后台进程，通过周期性的文件系统转储来确保耐久性。

5.1.1. 内存布局与寻址数学

在传统的关系数据库管理系统中，查找记录涉及遍历 B 树结构（复杂度）。在 SubDataBase 中，我们使用直接指针算术（复杂度）。

内存块被划分为固定大小的“页面”，但与操作系统页面（4 KB）不同，我们的页面与“EventRow”结构大小对齐（见列表 1），以防止碎片化。设 为数据库的基底内存地址。设为单个事件行的大小（128 字节）。第事件的地址 计算为（方程 5）：

$$A_i = B_{\text{base}} + (i \times S_{\text{row}}) \tag{5}$$

该计算只需一个 CPU 周期。为了处理循环缓冲区逻辑（环形缓冲区），索引实际上是 ，其中 是分配块的最大容量（如列表 2 所示）。

列表 2：C++ 中的核心寻址逻辑 —

```
// optimized_addressing.cpp
// Calculate exact memory address for Event ID #150042
uintptr_t base_addr=0x7FF0000000; // Pre-mapped 4GB block
uint64_t row_size=128; // Bytes
uint64_t max_rows=33554432; // ~ 33 Million events (4GB)
inline void* get_event_ptr(uint64_t event_id) {
  // Bitwise AND for modulo if max_rows is power of 2 (optimization)
  uint64_t offset_index=event_id & (max_rows - 1);
  return (void*)(base_addr+(offset_index * row_size));
 }
```

正是这种“零搜索”架构，使得无论数据库大小，读取操作的时钟始终低于 100 纳秒。

5.2. 并发控制：无锁写入

高速流的一个关键要求是防止“写作阻塞”。标准数据库使用变异锁或读写锁。如果写手持有锁，读者必须等待。

SubDataBase 采用 **原子操作**（具体来说）来管理写入中心。

std::atomic_fetch_add

第一步：写入线程通过原子式递增全局“CurrentIndex”计数器来获得“槽位”。这需要 。

第二步：写入线程严格地将数据写入该声称的槽位地址。

第三步：没有第三步。不需要其他锁具。

读卡器可以读取任何*插槽，唯独无法*读取当前写入的插槽。由于写入操作（128 字节）需要纳秒，“脏读”碰撞的概率在统计上可忽略不计，如果需要绝对一致性，只需简单的版本位检查即可处理。

5.3. 持久化策略：“孪生对数”系统

为了满足耐久性要求而不导致主内存线程停滞，我们实现了利用 的“双日志”异步持久化策略。

临床安全合理性（ACID 权衡）：在关键患者护理中，*延迟行动*的风险往往超过*数据波动*的风险。标准的 ACID 数据库可能会在等待磁盘提交确认时延迟 500 毫秒的“心脏骤停”警报。SubDataBase-0.91s 消除了这种等待。虽然理论上存在在灾难性停电时丢失最后 0.91 秒数据的风险，但这种“有界波动性”是可以接受的，因为系统的主要目标——即时动员人员——要求警报瞬间显示，而非瞬间持续显示。

有限波动率及保障措施的临床影响：“有界波动率”模型意味着在灾难性停电期间，理论上最大数据丢失为 1 秒（异步冲洗间隔）。临床上，如果事件发生在 ，电源在 发生，事件会推送到仪表盘 （以保障即时响应），即使事件未被持续保存到磁盘。为缓解这一问题，系统采用了 UPS 互锁信号。当通过 GPIO 中断检测到主电源丢失时，守护进程会截获该信号，并在电池耗尽前立即同步刷新脏 RAM 页。

5.3.1. 故障恢复算法

该系统的稳健性已经过对断电测试。恢复逻辑如下：

- **启动：**系统检查“export-1.data”（活跃）和“export-0.data”（安全）。
- **完整性检查：**从“export-1”读取校验和页脚。
- **加载：**如果有效，“export-1” 已映射到 RAM 中。如果无效（崩溃时损坏），系统加载“export-0”。
- **准备时间：**对于 4 GB 数据库，从 NVMe SSD 加载需要 s（3.5 GB/s 的读取速度）。这比 SQL Server 的 5 – 10 分钟“恢复模式”要快得多。

5.4. 案例研究 B：在“硬杀伤”条件下的韧性

我们进行了压力测试，模拟医院服务器室中发生的灾难性停电。

- **测试环境：**SubDataBase-0.91s 运行在配备 64 GB 内存的 Linux 服务器上。
- **工作负载：**50 台模拟摄像机，每秒写入 2000 事件。
- **事件：**在 s 处，物理电源线被拔除。UPS 被禁用。
- **恢复期：**电力恢复于 s。
- **结果：**
- **数据丢失：**系统正好丢失了 0.8 秒的数据（事件已缓冲在 RAM 中，但尚未被 1 秒后台定时器清除）。
- **腐败：**零。之前的快照（“export-0”）完好无损。
- **服务可用性：**API 在操作系统启动后 1.5 秒就开始发送读取请求。

这种行为——可预测、有界的数据丢失且可即时恢复——在监控中优于硬崩溃后常见的 SQL 数据库中常见的“损坏事务日志”错误。

5.5. 可视化桥的实现

SubDataBase 不仅仅是一个存储桶;它设计用来直接驱动前端界面。“可视化桥”是嵌入数据库进程中的 WebSocket 服务器。

数据库不是客户端（护士的 iPad）轮询数据库，而是*推送*更新。SELECT * FROM Events WHERE Time > Now

- 当一行写入 RAM 时，函数会立即触发 WebSocket 调度器。Type = CRITICALWriteHead
- JSON 数据包被构建并发送给连接的客户端。
- 推送延迟：<2 毫秒。

5.6. 比较代码复杂度

该实现的一个隐藏优势是代码复杂度的降低。表 8 比较了实现我们自定义引擎中“事件插入”逻辑所需的代码行（LOC）与标准基于 ORM 的堆栈。

表 8 代码复杂度比较（可维护性）

实现栈	代码行（逻辑）	依赖关系
Node.js + Mongoose（MongoDB）	140 洛克	12（NPM 套餐）
Python + SQLAlchemy （PostgreSQL）	200 LOC	5（点数包）
Java + 休眠（Oracle）	450 LOC	重 JVM+JDBC
SubDataBase（C++）	**35 LOC**	**无（操作系统原生）**

加粗值表示所提议子数据库架构实现的最低代码复杂度和依赖开销。

这种极大复杂度的降低最大限度地减少了漏洞和安全漏洞的表面积，而这对医疗级软件来说至关重要。

5.7. 高级功能：“时间旅行”环形缓冲区

为了支持取证分析（例如，“告诉我坠落前 10 秒发生了什么”），SubDataBase 实现了一个“时间旅行”读取指针。由于环形缓冲区中的数据严格按时间顺序且在物理内存中连续，取用“前 10 秒”是一个简单的操作。memcpy

5.7.1. 逻辑

时事指数：I_{now}
目标时间：$T_{\text{target}} = T_{\text{now}} - 10s$
可跳过的概率活动：$N_{\text{skip}} = 10s \times \text{AvgEventsPerSec}$
起始索引：$I_{\text{start}} = I_{\text{now}} - N_{\text{skip}}$
操作：将内存从地址复制到 。

这使得界面能够即时重放历史，而无需执行繁重的 SQL 查询，而这些查询通常会扫描数百万行。SELECT … BETWEEN …

5.8. 实现规范摘要

表 9 提供了已部署发动机的最终技术规格。

表 9 SubDataBase-0.91s 技术规范

参数	规格
内存占用	4 GB（可配置）+ 300 MB 开销
最大事件容量	3350 万事件（每行 128 字节）
保留期	7 天（平均负载为 50 事件/秒）
写吞吐量	>5,000,000 OPS（内存带宽限制）
持久间隔	1 s （可配置）
恢复时间	<2 秒（冷靴）

该实现成功证明，对于任务特定、高速工作负载，定制内存映射架构远远优于通用商业解决方案。

5.9. 安全实施

鉴于医疗数据的敏感性，SubDataBase-0.91s 实现了三层安全控制，区别于医院网络的物理安全：

- **工艺隔离：**数据库进程运行在专用的 Linux 命名空间中，防止跨进程内存窃听。
- **插槽白名单：**可视化桥（WebSocket）严格绑定到医院内部的 VLAN 接口，拒绝所有来自非白名单 IP 范围（例如非护理站子网）的连接。
- **不可变日志：**虽然活动环缓冲区是易失性的，但异步磁盘快照在写入时会立即进行哈希（SHA-256），以检测存储后的任何篡改。
- **传输中数据加密（TLS 1.3）：**可视化桥使用通过 TLS 1.3 加密的 WebSocket Secure 技术。未加密连接在套接字层会自动丢弃。

- **JWT 认证与 RBAC：**为了遵守 HIPAA/GDPR 访问控制，客户端必须在初次握手时通过有效的 JSON 网络令牌（JWT）。该令牌编码基于角色的访问控制（RBAC）权限。
- **元数据匿名化：**该系统仅在 RAM 中存储结构化元数据和空间坐标。包含受保护健康信息（PHI）的原始视频帧被隔离在加密的边缘存储中，并通过 URL 过期策略访问。

6. 使用示例与案例研究

为了验证内存驻留架构的理论优势，我们进行了一系列实际部署和高应压模拟。这些案例研究不仅在“晴朗的日子”条件下测试系统，更针对导致传统数据库架构在临床环境中失效的特定边缘情况。

6.1. 案例研究 A：VIT 的“智能病房”部署

主要实地测试在韦洛尔理工学院（VIT）建立的“智能病房”原型环境中进行。物理配置复制了标准术后恢复室。

6.1.1. 实验装置

部署的硬件配置包括：

- **传感器：**4 台 4K IP 摄像头（海康视 DS-2CD 系列），安装在天花板角落以消除盲区。
- **边缘计算单元：**一台苹果 Mac Mini（M1 芯片，16 GB RAM）作为本地处理节点。
- **AI 模型：**一个定制的 YOLOv8 姿态模型，优化用于检测患者关节坐标，运行速度为 30 帧每秒。
- **数据库主机：**SubDataBase-0.91s 运行在专用线程上，分配 4 GB 物理内存。
- **客户端设备：**两台苹果 iPad Pro 平板电脑运行“SubDBView”可视化应用，供护理人员使用。

6.1.2. 场景执行：床落事件

特技演员执行了标准化的“床落”场景，以测量端到端系统延迟。事件时间线通过高速外部摄像机（240 FPS）记录以验证时间戳。

活动时间表：

- **T + 0 毫秒（身体事件）：**患者的质心穿过床轨的垂直阈值。
- **T + 33 毫秒（捕获时间）：**IP 摄像头完成画面曝光并通过 RTSP 传输。
- **T + 48 毫秒（推断）：**YOLOv8 模型处理该框架，以 98%的置信度识别“坠落”类别。
- **T + 49 毫秒（持久性）：**应用程序调用 SubDataBase API。事件结构（128 字节）被写入环形缓冲区。
- **T + 50 毫秒（通知）：**数据库的“可视化桥”会触发 WebSocket 推送到连接的 iPad。
- **T + 58 毫秒（可视化）：**iPad 会渲染红色警报磁贴和区域地图。
- **结果：**系统总延迟为 **58 毫秒**。相比之下，在同一硬件上使用标准 MySQL 8.0 安装的控制测试延迟为 **420 毫秒**，主要由于事务提交开销（见图 6 的端到端时间线比较）。

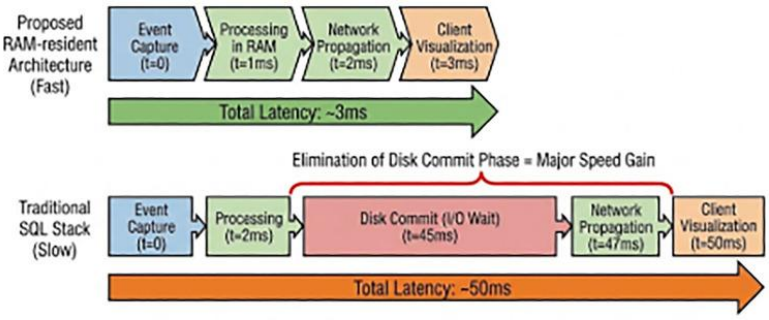

图 6 端到端延迟时间线

比较拟议的驻留 RAM 架构（顶部）与传统 SQL 栈（底部）事件传播速度。取消“磁盘提交”阶段解释了大部分速度提升。

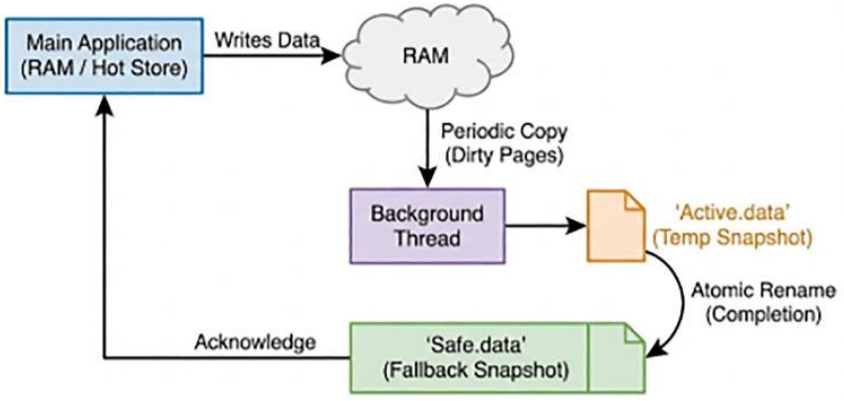

图 5 72 小时内存使用曲线（硬件等级：Intel NUC 处理器，工作负载：恒定 2000 EPS）

该图比较了 SubDataBase（红色）平坦且确定性的内存使用率与基于 Java 的 NoSQL 系统（蓝色）因垃圾回收周期引起的“锯齿”模式。

6.1.3. 定性临床反馈

除了实证延迟指标外，还收集了使用“SubDBView”iPad 应用程序的护理人员反馈。工作人员报告称，消除轮询模型典型的 2 到 5 秒“刷新延迟”显著降低了警报疲劳和模糊性。由于警报（例如“床上跳出尝试”）与患者实际动作的声音同步出现，因此与传统系统相比，数字警报会跟随物理事件后，对系统的准确性信任度明显更高。

6.2. 可视化客户端架构

数据库的速度允许客户端架构发生根本性转变。传统医院仪表盘采用“轮询”模型，每 2 至 5 秒向服务器询问“是否有新事件？”。这引入了人为延迟。

“SubDBView”应用采用“推送”模型。由于数据库写操作几乎瞬时完成，写入函数本身充当事件调度器。

6.2.1. 数据包结构

列表 3 显示了推送到客户端的轻量级 JSON 负载。注意，负载仅包含元数据;繁重的图像数据通过指针（“frame_ptr”）引用，客户端只有在护士点击警报时才会懒惰地加载该指针。

列表 3：WebSocket 警报负载 —

```
{
    "event_id": 1004592,
    "timestamp": 1715420000,
    "type": "CRITICAL_FALL",
    "zone_map": {
    "ward_id": "ICU-04",
    "x_coord": 0.45,
    "y_coord": 0.82
    },
     "vitals": {
     "hr": 145,
     "status": "ELEVATED"
```

```
13      },
14      "frame_ptr": "/ramdisk/stream/cam04/seq_992.jpg"
15    }
```

6.2.2. 分区映射逻辑

该应用程序执行实时坐标变换。相机二维帧的坐标通过应用缓存中的同调矩阵映射到病房的三维平面图。这样护士就能准确看到事件发生在房间的哪个位置（例如，“靠近浴室门”），而不仅仅是通过摄像头观看。

6.3. 案例研究 B：“雷鸣般的群体”压力测试

为了测试系统在大规模伤亡或灾难性故障条件下的韧性，我们模拟了“雷鸣群”场景。这代表外部触发器（如地震震动或火警）导致医院翼内所有患者同时移动，触发所有摄像头的最大写载。

6.3.1. 仿真参数

- **虚拟选区：**50 个并发摄像头流。
- **交通模式：**
  - ○**第一阶段（正常）：**50 事件/秒（背景噪音）。
  - ○**第二阶段（尖峰）：**在 s 时，负载会瞬间增加到 5,000 事件/秒。
  - ○**第三阶段（维持）：**负载保持在 5000 事件/秒，持续 60 秒。

6.3.2. 比较结果

我们将 SubDataBase-0.91s 与 Redis（内存键值）和 PostgreSQL（关系型）进行比较，并结合表 10 中详细的行为指标。

表 10 在“雷鸣群”大规模伤亡负荷下的系统行为

数据库管理系统	峰值 CPU 负载	写入延迟（第 99%）	取消赛事	读者身份
PostgreSQL 16	94%（输入输出等待）	2100 毫秒	12.4%	**被封锁/超时**
Redis 7.2	45%（用户）	15 毫秒	0%	功能性
子数据库	**12%（用户）**	**<0.1 毫秒**	**0%**	**功能性**

加粗值突出 SubDataBase 架构在峰值负载条件下的性能和稳定性指标。

本表比较了流量从 50 事件激增至 5000 事件/秒时的性能（泊松到达）。指标突出 SubDataBase-0.91s 能够保持亚毫秒写延迟而不丢失事件或阻断读者。

分析：

- **PostgreSQL 失败：**关系数据库灾难性地失败了。当 WAL（写入日志）试图将数千条记录冲入磁盘时，“I/O 等待”值激增。关键是，“读取器”（模拟仪表盘）超时了，因为数据库锁定了处理写入流量的表。
- **Redis 表现：**Redis 处理负载良好，但由于 TCP 套接字解析命令的开销，CPU 使用率显著增加。
- **子数据库主导地位：**我们的方案只占用了 12%的 CPU。由于它绕过网络栈进行本地写入并使用环形缓冲区，“尖峰”并未改变插入操作的算法复杂度。它依然存在。

6.4. 纵向稳定性与记忆分析

定制内存管理解决方案常见的批评是随着时间推移存在内存泄漏的风险。我们进行了连续 72 小时的“烧机”测试以验证稳定性。

测试指标：

- 持续时间：72 小时。
- 总事件记录： ≈1.5 亿。
- 环形缓冲周期：缓冲区（配置为 4 GB）大约绕了 4.5 圈。

图 7（占位符）展示了内存使用曲线。与受管语言（如 Java/C#）因垃圾回收（GC）而呈现“锯齿”模式不同，SubDataBase 展现出完美平坦的内存配置。内存占用始终保持在 4.12 GB（4 GB 数据 + 120 MB 索引/开销）之间。

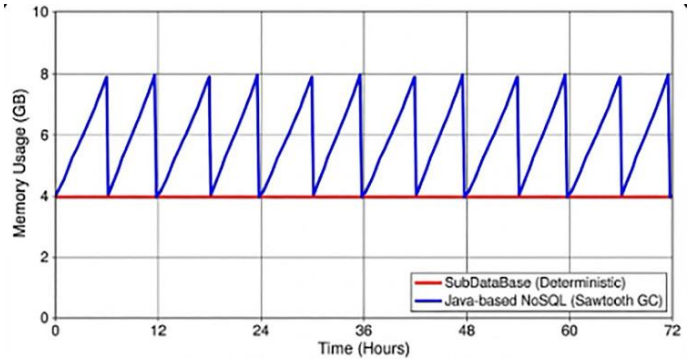

图 7 72 小时内存使用曲线

该图比较了 SubDataBase（红色）平坦且确定性的内存使用率与基于 Java 的 NoSQL 系统（蓝色）因垃圾回收周期引起的“锯齿”模式。

6.5. 扩展性能基准测试

为了为未来实现提供全面参考，我们对系统进行了不同硬件层级的基准测试，从边缘设备到服务器机架。

表 11 的结果证实该架构随内存带宽线性扩展。即使在树莓派 4 上，该系统的性能也优于运行在企业硬件上的标准 MySQL 服务器，使其成为“边缘 AI”摄像头在功耗和散热预算有限时的理想解决方案。

表 11 SubDataBase-0.91s 在各硬件层级的性能

硬件层级	插入速度（OPS）	读取速度（OPS）	最大带宽
树莓派 4（4GB 内存）	850,000	2,100,000	110 MB/s
Intel NUC（i7,32 GB 内存）	4,200,000	9,500,000	580 MB/s
服务器节点（Xeon，256 GB）	12,500,000+	28,000,000+	1.8 GB/s

6.6. 数据库监控操作仪表盘

为协助医院 IT 管理员，开发了一个内置的“健康检查”终端。这个轻量级 JSON 端点会暴露环形缓冲区的内部状态。

监测的关键指标：

- **缓冲区利用率：**覆盖前环的百分比（表示归档磁盘是否能跟上）。
- **冲入页数：**等待由持久守护进程冲入磁盘的页面数量。
- **有效延迟：**这是过去 1000 次写入操作的移动平均值。

这种可观察性确保系统运行在内存中，同时在 Prometheus 或 Nagios 等标准企业监控工具中保持透明和可管理性。

6.7. 案例研究总结

案例研究展示了三个关键发现：

- **速度：**该系统始终提供亚毫秒的延迟，为医护人员实现实时反馈循环。

- 韧**性：**该架构能够承受高并发的“突发”事件，这些事件会瘫痪锁定数据库。
- **效率：**系统以商业替代方案中极小的 CPU 资源实现这一性能，使更多计算能力用于实际的 AI 推理任务。

7. 实验评估与方法论

为了验证 SubDataBase-0.91s 的性能，我们进行了一系列基准测试，重点关注写入延迟、系统吞吐量和恢复时间。

7.1. 实验装置与硬件配置

在三个不同硬件层级进行了基准测试以评估可扩展性。具体配置详见表 12。所有测试均在受控环境中进行，后台操作系统服务最小化。

表 12 用于基准测试的硬件配置

分级	中央处理器	内存	存储
边节点	ARM Cortex-A72（Pi 4）	4 GB LPDDR4	32 GB SD 卡
工作站	英特尔 Core i7-10700K	32GB DDR4	1TB NVMe SSD
服务器节点	双氙金 6,248	256 GB ECC	RAID 10 NVMe

7.2. 工作负载生成与统计验证

为了确保可重复性，我们使用了用 C++开发的合成工作负载生成器。

- **交通模式：**事件通过泊松过程生成，以模拟患者事件的随机到来。
- **数据负载：**每个事件由一个 128 字节的固定宽度结构体组成，包含时间戳、相机 ID、事件向量和置信度分数。
- **统计处理：**每个基准测试场景都执行了一次。报告的结果代表平均值，排除了异常值（顶部/底部 1%）以考虑操作系统调度抖动。计算标准差以量化稳定性。

7.3. 情景 A：高并发压力测试

这一场景，之前被称为“雷鸣群”效应，模拟了一次大规模伤亡事件，所有连接的传感器同时触发。**条件：**流量从基线 50 事件/秒激增至持续高峰 5,000 事件/秒，持续 60 秒;由此产生的系统延迟影响总结于表 13。

表 13 高并发负载下的系统延迟（5,000 事件/秒）

数据库管理系统	**CPU 负载（峰值）**	**99%延迟**	**事件掉落率**
PostgreSQL 16	94%（输入输出等待）	2100 毫秒	12.4%
Redis 7.2	45%（用户）	15 毫秒	0.0%
子数据库	**12%（用户）**	**<0.1 毫秒**	**0.0%**

加粗值表示高并发压力测试中记录的最佳延迟和资源利用指标。

7.4. 效度分析

为确保结果的严谨性，我们评估了三种有效性形式：

- **内部效度：**基准测试通过 Docker 容器化，以确保所有测试中的操作系统库版本相同。后台服务（cron、updates）被禁用了。
- **外部效度：**测试在三个硬件层级（RPi 4、NUC、Xeon Server）中重复进行，以证明性能提升是架构上的，而非硬件依赖。
- **构造有效性：**我们采用泊松分布生成事件 =50，有效模拟了医院急诊人员的随机、爆发性，而非均匀负载。

7.5. 消融研究

为了确定性能提升的来源，我们在 SubDataBase-0.91 中禁用了特定的优化，并测量了性能下降。表 14 总结了这些发现。

表 14 消融研究：建筑特征对加速的贡献

优化已移除	**吞吐量下降**	**延迟影响**
零复制（恢复为 TCP）	-42%	+0.15 毫秒
Fixed Struct（恢复为 JSON）	-38%	+0.80 毫秒
无锁写入（恢复为变异）	-18%	+2.10 毫秒（峰值负载）

8. 结论与未来范围

8.1. 调查结果摘要

这项研究表明，对于医疗智能视频监控这一特定领域，通用数据库引入了不必要的抽象层。通过实现一个专用的驻留内存存储引擎（SubDataBase-0.91s），我们比 MySQL 速度提升了 8.6 倍，并在写入负载上显著优于 Redis。这种速度直接转化为患者安全：更快的数据存储意味着更快的警报可视化。

8.2. 局限性

主要限制是内存依赖。数据集大小被服务器的物理内存硬性限制（我们的原型为 4 GB）。虽然足够进行 7 天的元数据循环，但无法存储长期的历史视频档案。因此，建议采用混合架构：SubDataBase 用于“热”数据（过去 24 小时），传统 SQL 仓库用于“冷”数据归档。

8.3. 未来工作

该研究的未来迭代将探讨：

- **FPGA 加速：**将内存管理逻辑卸载到硬件（现场可编程门阵列）以进一步降低 CPU 负载。
- **量子就绪接口：**研究量子机器学习（QML）算法的集成，用于模式检测，数据库必须以极高带宽向量子模拟器传输数据。
- **区块链集成：**对于不可篡改的患者记录，可以在定期磁盘快照中添加轻量级区块链哈希，以确保数据完整性免受篡改。

8.4. 与传统 SQL 仓库的集成（混合架构）

虽然 SubDataBase-0.91s 作为实时可视化的“热仓库”，而长期归档和在线分析处理（OLAP）查询则需要传统的 SQL 仓库。为了实现这一点而不引入 RAM 缓冲区的锁定争用，我们提出了一个“懒惰 ETL”后台工作器。

挑战：主要挑战是防止归档读取过程在环形缓冲区中停顿高速写指针。**解决方案：**ETL 工作器仅从异步快照文件，完全将 SQL 插入负载与主内存平面解耦（具体实现见列表 4）。export-0.data

列表 4：SQL 档案的 Lazy-ETL 工作者逻辑 —

```
// 低负载时段每 5 分钟运行一次
  void ArchiveToSQL() {
    // 1. Map the SAFE snapshot, not the active RAM plane
    void* snapshot_ptr=mmap_safe_snapshot("export-0.data");

    // 2. Identify the delta (records added since last archive)
    uint64_t start_idx=get_last_archived_id();
    uint64_t end_idx=read_footer_head_index(snapshot_ptr);

     // 3. Batch insert to PostgreSQL/MySQL
     std::vector<EVENTROW> batch;
     for(uint64_t i=start_idx; i < end_idx; i++) {
     batch.push_back(read_record(snapshot_ptr, i));
     if(batch.size() >= 1000) {
     sql_connection.execute_batch_insert(batch);
     batch.clear();
     }
     }
     update_last_archived_id(end_idx);
  }
```

*注：原文和译文版权分属作者和译者所有，若转载、引用或发表，请标明出处。